

**ASUPRA NOIOR PRINCIPII DE
CONTROL AL CALITATII
CARBUNELUI, DE MINA, DIN
DEPOZITUL MARITSA EST SI
FURNIZAT CATRE COSUMATORII
MAJORI**

**Prof. univ. dr. ing. Tencho Kairakov¹,
Eng. Atanas Smilianov²,**
Prof. univ. dr. ing. Tsvetan Damyanov²,
Conf. univ. dr. Violeta Ivanova²
(¹) Mina “Maritsa east” – EAD, 6260
Radnevo
(²) Universitatea de Minerit si Geologie “St.
Ivan Rilski”, 1700 Sofia

**ON THE NEW PRINCIPLES FOR
CONTROL OF THE QUALITY OF
COAL, MINED AT THE MARITSA
EAST DEPOSIT
AND SUPPLIED TO THE MAJOR
CONSUMERS**

**Prof. PhD. Eng. Tencho Kairakov¹,
Eng. Atanas Smilianov²,**
Prof. PhD. Eng. Tsvetan Damyanov²,
Assoc. Prof. PhD. Eng. Violeta Ivanova²
(¹) “Maritsa east” Mines – EAD, 6260
Radnevo
(²) University of Mining and Geology “St. Ivan
Rilski”, 1700 Sofia

REZUMAT: Conceptele si principiile au fost descrise, care reprezinta baza pentru a masura calitatea si continutul de cenusă al carbunelui, de la mina “Maritsa East” EAD si furnizat catre principalii consumatori – Centrala Termica 1, Centrala Termica 2, Centrala Termica 3 si fabrica de productie a instalatiilor de briquetare.

Cuvinte cheie: carbune, continut de cenusă al carbunelui, centrala termică, instalatii de brichetare.

Introducere

Carbunele obtinut de la mina “Maritsa East Mines” EAD trebuie sa detina parametrii prestabiliti, deoarece este consumati, de consumatori stabiliti in mod strict– Centrala Termica 1, Centrala Termica 2, Centrala Termica 3 si Fabrica de productie a instalatiilor de brichetare. Cele mentionate mai sus necesita utilizarea hartilor tehnologice, care au fost schitata in stadiul de explorare al carbunelui, pe baza informatiilor de la reteaua de proba a minei.

Monitorizarea si controlul calitatii carbunelui din mina sunt foarte importante. Acest lucru inseamna studierea umiditatii, continutului de cenusă si de sulf, etc.

ABSTRACT: The concepts and principles have been described, which are the basis for measuring the quality and the ash content of coal, mined at the “Maritsa East” EAD and supplied to the main consumers – Thermal Power Plant 1, Thermal Power Plant 2, Thermal Power Plant 3 and the Briquette-manufacturing Plant.

Key words: coal, thermal power plant, ash content of coal, briquette-manufacturing plant.

Introduction

The coal mined at the “Maritsa East Mines” EAD need to possess restrictively preset parameters, because they are consumed by strictly determined consumers – Thermal Power Plant 1, Thermal Power Plant 2, Thermal Power Plant 3 and the Briquette-manufacturing Plant. The above requires the use of technological maps, which have been drafted at the stage of coal exploration based on data from the exploratory borehole network.

Monitoring and control of the quality of mined coal is especially important. That means studying the humidity, the content of ash and sulfur etc. The ash content and

Continutul de cenusă și aportul calorific, sunt deosebit de importante speciale. Din acest motiv, nu doar planurile tehnologice sunt utilizate, dar și mostrele de teren ce sunt obținute din acele straturi de carbune de mină, care sunt analizate de laboratoarele autorizate ale minei. Aceasta este o modalitate de a obține un grad ridicat al preciziei pentru calitatea carbunelui, ceea ce reprezintă o garanție a funcționării normale a centralelor termice.

In cazuri de urgență, se întâmplă ca această calitate a carbunelui, furnizată către consumatori, să nu respecte calitatea solicitată. Acestea sunt cazurile când centralele termice solicită o furnizare rapidă de carbune, cu un anumit conținut de cenusă și aport calorific pentru directă alimentare către boilele de combustie. În cazurile de mai sus, poate avea loc o furnizare a carbunelui de o calitate care nu respectă cerințele. Acest lucru poate duce la:

- Acumularea cenusiei în cazane, atunci când carbunele alimentat are o valoare calorimetrică ridicată;
- Reducerea factorului de eficiență a cazanelor și a generatoarelor de electricitate, atunci când carbunele furnizat are un aport calorific scăzut, ceea ce face ca electricitatea produsă să fie mai costisitoare.

Activitatea combinată a minelor și a centralelor termice a experimentat cazuri cu consecințele negative de mai sus.

Un pionier în practica de la Minele “Maritsa East” pentru monitorizarea continuă a calității carbunelui este mina “Troyanovo 3”, datorită faptului că metoda de minerit include continuitatea fluxului de carbune, alimentat la Centrala Termică 3. Posibilitățile de a avea un efect asupra parametrilor de calitate la mină, au fost intensificate de către soluțiile inventive, de inginerie, și anume punerea în funcțiune a procesului concasărilor și a instalațiilor de prelevare a mostelor.

Furnizarea carbunelui către alți consumatori – Centrala Termică 1, Centrala Termică 2 și Fabrica de producție a

related calorificity are of special importance. For that reason not only the technological maps are used, but also field samples are obtained from the respective mined coal seams, which are analyzed at the authorized laboratories of the mines. That is the approach for achieving an acceptably high rate of precision of the quality of coal, which is a guarantee for the normal operation of the power plants.

Under conditions of emergencies, it happens that the quality coal, supplied to the consumers, does not comply with the required quality. Those are cases, when the power plants request urgent supply of coal of given ash content and calorificity for direct feeding to the combustion boilers. In the above cases the supply of coal of qualities, which does not comply with the requirements, may happen. This may bring to:

- Accumulation of slag in the boilers, when the fed coal have higher calorificity;
- Reduction of the efficiency factor of the boilers and power generators, when the supplied coal has lower calorificity, which makes the produced electrical power more expensive.

The joint work of the mines and the power plants has experienced cases with the above negative consequences.

A pioneer in the practice of “Maritsa East Mines” for continuous monitoring of the coal quality is the “Troyanovo 3” mine, because the method of mining at that mine includes continuity of the flow of coal, fed to the Thermal Power Plant 3. The opportunities for exercising an effect on the quality parameters at the mine have been significantly enhanced by inventive engineering solutions, namely putting into operation of the process of crushing machines and sample-taking installations.

Supply of coal to the other consumers – Thermal Power Plant 1, Thermal Power Plant 2 and Briquette-manufacturing Plant is performed in cycles by railway transport. For

instalatiilor de brichetare este realizata prin cicluri de transporturi de cale ferata. Din acest motiv, minele "Troyanovo 1" si "Troyanovo sever" necesita verificari in ceea ce priveste solutiile tehnice si tehnologice, inovative, pentru a monitoriza si controla calitatea carbunelui furnizat. Ca rezultat, metodele, schemele si sistemele au fost deja dezvoltate nu doar pentru a demonstra calitatea carbunelui furnizat dar si continua monitorizare a procesului de excavatie si furnizare a carbunelui de la fiecare dintre excavatoare.

Principiile pentru monitorizarea si controlul calitatii carbunelui la minele "Maritsa East" EAD sunt similar cu principiile adoptate la alte mine, actionate prin metode de minerit, subterane sau exploatare la zi [1, 2, 3, 4, 5].

Concepțe și principii ale sistemului automat de măsurare a continutului de cenusa și a cantității de carbune, aplicate la depozitul de carbune maritsa-east [6]

Din teorie, se stie, ca cea mai buna decizie pentru a emite o determinare destul de exacta, "in direct", a continutului de cenusa pe banda transportoare este obtinuta prin iradierea simultana cu doua tipuri de energie. Aceasta este modul de a obtine eliminare maxima a parametrilor fizici, variabili si compozitia chimica a materialului de pe banda. Principiul de măsurare se bazeaza pe legea atenuarii iradiatiei γ , la transmiterea prin diverse metode:

$$I = I_0 e^{-\mu(E_\gamma, Z)\rho(Z)d}$$

(1)

unde: I reprezinta intensitatea transmisiei prin intermediul iradierii; I_0 – reprezinta intensitatea iradierii printr-un agent gol; $\mu(E_\gamma, Z)$ – greutatea relativa a agentului; d – grosimea stratului, cm; $\mu(E_\gamma, Z)$ – index, caracterizarea atenuarii

that reason the mines "Troyanovo 1" mine and "Troyanovo sever" mine required investigations for principally innovative technical and technological solutions for monitoring and control of the quality of supplied coal. As a result methods, schemes and systems have already been developed not only to prove the quality of supplied coal but also for continuous monitoring of the processes of excavation and supply of coal from each one of the excavators.

The principles for monitoring and control of the quality of coal at the "Maritsa East mines" EAD are analogical to the principles adopted at other mines, operated under underground or opencast mining methods [1, 2, 3, 4, 5].

Concepts and principles of the automated system for measuring the ash content and coal quantity, applied at the maritsa-east coal deposit [6]

It is well known from theory that the optimum decision of the issue of precise enough "on line" determination of the ash content on the conveyer belt is achieved by simultaneous radiating by two different types of energies. This is the approach for achieving the maximum elimination of the variable physical parameters and chemical composition of material on the belt. The principle of measuring is based on the law for attenuation of γ -radiation when being transmitted through a certain media:

$$I = I_0 e^{-\mu(E_\gamma, Z)\rho(Z)d} \quad (1)$$

where: I is the intensity of transmitted through the media radiation; I_0 – intensity of radiation through an empty medium; $\rho(Z)$ – relative weight of the medium, g/cm³; d – thickness of the layer, cm; $\mu(E_\gamma, Z)$ – index, characterizing the attenuation of γ -radiation due to a certain medium in dependence of its

iradierii γ datorita unui anumit agent – iradiere datorita unui anumit agent în legatura cu iradierea acestuia, cm^2/g .

Urmatoarea expresie este obținută după analizarea logaritmului ecuației de mai sus (2):

$$\ln(I_0) - \ln(I) = \mu(E_\gamma, Z)\rho(Z)d$$

(2)

Ecuatia (2) exprima amortizarea iradierii, transmisa printr-un anumit agent. Este proporțională cu cantitatea de carbune de pe banda, care este exprimată în kg/cm^2 . Ecuatie (2) ofera o variantă de calcul al cantitatii continue, de material (a se citi t/h), i.e. prima funcție a dispozitivului este "cureagreutate".

Utilizarea a doi izotopi diferiti cu două energii de iradiere, diferite, este determinată de posibilitatea de a exprima raportul celor două iradieri, în conformitate cu expresia (2) intr-o expresie, în cadrul careia, greutatea și grosimea stratului, lipsesc (datorita reducerii matematice) - expresia (3). Acest lucru se întampla deoarece cele două iradieri sunt co-axiale și sunt transmise prin același material, în același fel (fig. 1).

radiation, cm^2/g .

The following expression is achieved further to taking the logarithm of the above equation (2):

$$\ln(I_0) - \ln(I) = \mu(E_\gamma, Z)\rho(Z)d$$

(2)

The equation (2) expresses the attenuation of radiation, transmitted through the certain medium. It is proportional to the quantity of coal on the belt, expressed in kg/cm^2 . The equation (2) provides an option for calculating the continuous quantity of material, going on the belt (read in t/h), i.e. the first function of the device is a "belt-weigh".

The use of two different isotopes of two different energies of radiation is determined by the opportunity of expressing the ratio of the two radiations, according to expression (2) into an expression, in which the relative weight and the thickness of the layer are missing (because of the mathematical reduction) – the expression (3). This is because the two radiations are co-axial and are transmitted through absolutely the same material through the same way (fig. 1).

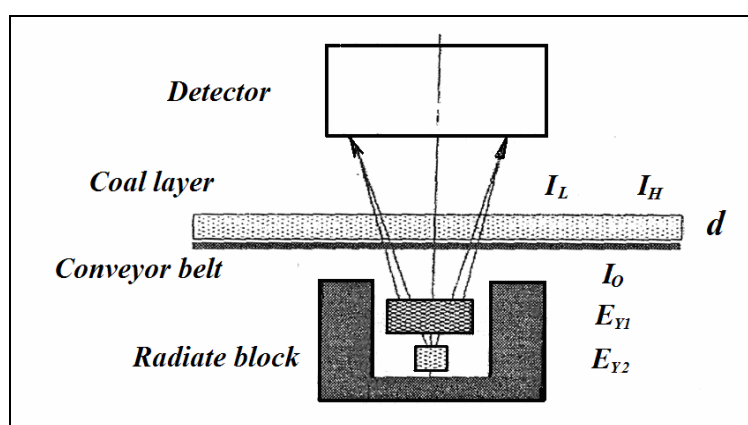


Fig.1. Schema metodei de iradiere prin două surse diferențiate / Scheme of the method of radiation by two different sources

$$R = \frac{\ln(I_L)^I - \ln(I_L)^H}{\ln(I_H)^I - \ln(I_H)^H} = \frac{\mu_L}{\mu_H} = f(Z_{eff}) \quad R = \frac{\ln(I_L)^I - \ln(I_L)^H}{\ln(I_H)^I - \ln(I_H)^H} = \frac{\mu_L}{\mu_H} = f(Z_{eff})$$

(3)

Parametrul pentru determinarea continutului de cenusă este raportul R între amortizarea energiei (L) și a celei ridicate (H). Efectul cantitatii și densitatii a fost eliminat în parametru și este obținut doar dependența numărului atomic, efectiv.

Carbunele este un agent care este realizat din două faze de diferite greutăți – inflamabil (hidrocarbon) cu $Z_{eff} \approx 6$, și inflamabil (nisipuri, argila, carbonat, oxid de carbon și alte materiale) cu $Z_{eff} \approx 12$. Cresterea continutului de cenusă reprezintă creșterea fazelor minerale sau inflamabile și invers, ex. Z_{eff} și R, sunt proporționale cu continutul de cenusă.

In același timp, există un număr de factori negativi:

- **Compozitie chimica variabila a carbunelui** – diferențele considerabile în cadrul compozitiei fazelor minerale a carbunelui pot duce la unul și același Z_{eff} pentru carbune cu un continut diferit de cenusă și invers;
- **Compozitia chimica variabila a carbunelui** – diferențele semnificative în ceea ce reprezintă marimea și umiditatea pot duce la greșeli serioade, în cazul în care nu este aplicată nicio metodă pentru măsurarea sau citirea lor;
- **Caracter statistic al interactiunii razelor gamma cu substanța**.

Atât la agentul care face obiectul măsurătorilor (carbunele) cât și agentul de înregistrare (detector, care transformă totalul gamma în puls electric) interacțiunea totalului gamma cu substanța are un caracter aleator (statistic). În cazul studiat, calcularea impulsurilor electrice este menționată mai sus, care sunt generate de procese statistice, ex. numărul de impulsuri trebuie să fie destul de mare pentru a obține un rezultat de încredere. În fiecare analiză spectrală, ca o regula, acest aspect este invins de creșterea timpului de măsurare și/ sau prin creșterea intensității iradiatiei măsurate. În acest punct,

(3)

The parameter for determining the ash content is the ratio R between the attenuation of the low (L) and the high (H) energy. The effect of quantity and density has been eliminated in the parameter and a dependence of only the effective atomic number is achieved.

The coal is a medium consisting of two phases of different weights – flammable (hydrocarbons) with $Z_{eff} \approx 6$, and inflammable (sands, clay, carbonates, iron oxides and other materials) with $Z_{eff} \approx 12$. The increase of the ash content means increase of the mineral or flammable phase and vice versa, i.e. Z_{eff} and R, respectively, are proportional to the ash content.

In the same time there are a number of negatively affecting factors:

- **Variable chemical composition of the coal** – the great differences in the chemical composition of the mineral phase of coal may bring to one and the same Z_{eff} for coal with different ash content and vice versa;
- **Variable physical composition of the coal** – significant variations in size and humidity may bring to serious errors if no method is applied for their measuring or reading;
- **Statistical character of the interaction of the gamma-rays with the substance**.

Both in the medium, subject to measurement (the coal) and the medium of registration (the detector, which converts the gamma quanta into electrical pulses) the interaction of gamma quanta with the substance has a random (statistical character). In the studied case the counting of electrical impulses is referred, which are generated as a result of statistical processes, i.e. the number of impulses has to be high enough in order to obtain a reliable result. In each spectral analysis, as a rule, this issue is overcome by increasing the time of measuring and/or by increasing the intensity of the measured

sunt valabile două limite ale principiilor – intensitatea iradiatiei nu poate să crească prea mult datorită cerintelor de sănătate și siguranță și costurilor limita, iar perioada de măsurare este limitată, de asemenea, datorită tipului de dependență, logarithmic (1).

Acest lucru înseamnă că dacă un agent imobil este măsurat, problema de mai sus nu va exista. Însă, obiectul de măsurare este poziționat pe o bandă transportoare, în continuă mișcare. Ca un rezultat al modificării continue a grosimii stratului de carbune, intensitatea iradierei se modifică și integrarea cu timpul de intensități diferite și preluarea logarithmilor nu va oferi rezultate de încredere, deoarece rezultatul va fi diferit de suma logarithmilor, lucru care reiese din figura 2.

radiation. At this point two principle limits are valid – the intensity of radiation may not be increased too much because for the health and safety requirements and the cost limits, and the time of measuring is also limited due to the logarithmic type of the dependence (1). That means that if an immovable medium is measured the above problem will not exist. However, the object of measurement is positioned on a continuously moving transportation belt. As a result of the continuous change of the thickness of the layer of coal, the intensity of radiation changes and the integration with time of significantly varied intensities and further taking the logarithm will not provide reliable results, because the result will be different from the amount of their logarithms, which is evident from figure 2.

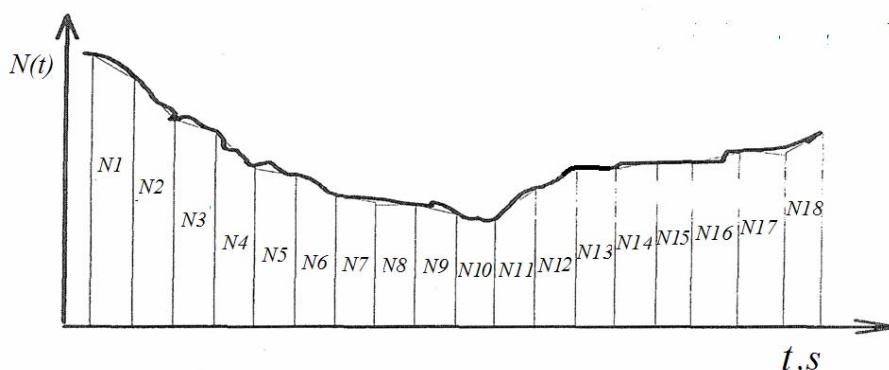


Fig. 2. Prezentarea informațiilor obținute în procesul de măsurare prin metoda iradierei cu două energii diferite / Illustration of data acquired in the process of measuring by the method of radiating by two different energies

Astfel, inegalitatea (4) intra în vigoare, lucru care este inadmisibil, în realitate.

$$\Sigma \ln N_i \neq \ln \Sigma N_i \quad (4)$$

De aceea, din punctul de vedere al algebrei, este recomandată scurtarea perioadei de măsurare, la maximum, însă, din punctul de vedere al statisticii – extinderea acestuia la maxim. Gasirea compromisului din contradictia menționată mai sus este unul

Thus the inequality (4) comes into force, which is inadmissible in the reality.

$$\Sigma \ln N_i \neq \ln \Sigma N_i \quad (4)$$

Therefore, from a point of view of the algebra, it is advisable to shorten the time of measurement to the maximum, however, from a point of view of the statistics – to extend it to the maximum. Finding the compromise in the above contradiction is one of the most important and meaningful points in the

dintre cele mai importante si semnificative puncte in aplicarea contorului de cenusă radio-izotop:

- Dependenta de raspunsul sistemului ca un intreg la modificarea conditiilor agentului – variații ale vremii, probleme electrice și electromagnetice etc.

In structura dispozitivelor, aplicate minelor "Maritsa -East", aspectele de mai sus sunt decise în cel mai bun sens. Acest lucru este datorat convertorului analog-digital, rapid, care permite acumularea și procesarea întregului spectru al iradiatiilor transmise, dar și o metodă pentru analiza și calibrarea spectrului și software-ul respectiv.

Fig. 3 prezintă schema – bloc a unui astfel de contor cenusă:

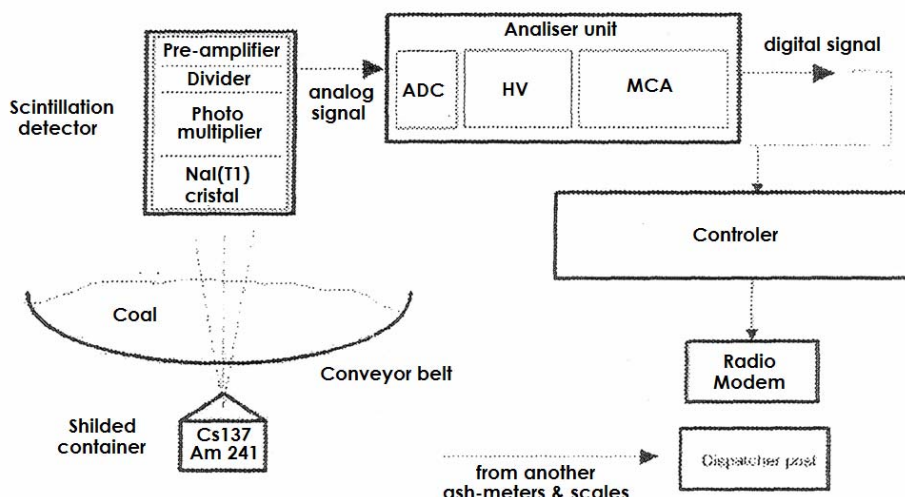


Fig. 3 Principiul schema bloc contro cenusă, aplicat la minele "Maritsa East Mines" EAD / Principle block scheme of the ash-meter, applied at the "Maritsa East Mines" EAD

Surse de iradiere

Ambele surse de ionizare a iradierii – izotop Americiu – 241 cu o energie de γ - iradiatie 59,6 keV și cesiu-137 – cu 661 keV – sunt localizate în blocul emitor care se află sub banda transportoare. Un container de plumb oferă protecție împotriva iradierii, în toate direcțiile, în afara conului de iradiere, invers, cu un unghi de $\square 6^\circ$. În blocul emitor nu există spațiu de protecție, care să ofere protecție completă în toate direcțiile pe durata condițiilor de inactivitate (transport,

application of radio-isotope ash-meters:

- Dependence of the response of the system as a whole to the changing conditions of medium – weather variations, electrical and electromagnetic disturbances etc.

In the structure of the devices, applied the "Maritsa -East" mines the above issues are decided to the optimum extent. This is due to the fast analogous-digital converter, which allows accumulation and processing of the whole spectrum of the transmitted radiation as well as a method for spectrum analysis and calibration and the respective software.

Fig. 3 shows the block-scheme of such ash-meter:

Sources of radiation

Both sources of ionizing radiation – the isotopes Americium-241 with an energy of the γ -radiation 59,6 keV and cesium-137 – with 661 keV - are located in the emitting block beneath the conveyer belt. A lead container provides radiation protection in all the directions outside vertically directed inverse cone of radiation with a body angle $\square 6^\circ$. In the emitting block there is shielded case, which provides complete safety in all the directions during the non-working conditions

asamblare, reparatie si sedere). Structura blocului garanteaza ca nu depaseste dozele echivalente, maxime, si actionarea de incredere.

Inregistrarea iradiatiilor transmise

Blocul de detectare, care contine detectorul de scanteiere, este pozitionat deasupra benzii transportoare, co-axiale, cu capatul de iradiatie. Detectorul de scanteiere, detecteaza, in mod simultan, iradiatie ambelor surse.

Detectorul de scanteiere (examinare) este realizat dintr-o unitate de scanteiere, reprezentata de non-cristal de NaI (T1) cu diametru si **с диаметър** o inaltime de 80 mm, si un multiplicator foto-electric (PEM), instalat in spatele cristalului. Cristalul de scanteiere absoarbe totalul gamma si emite, scanteiere de intensitate, proportionala cu energia totalului gamma care a fost absorbit.

Determinarea multiplicatorului fotoelectric selectat, facand referire la energia Cs-137 ($E\gamma = 661$ keV) este 7%. Geometria iradiatiei ofera intensitatea totala in detector, care este, aproximativ, de ordinul $n \times 10^5$ imp/s, obtinut de izotop pentru o banda transportoare, goala.

Inregistrarea spectrului gamma, complet

Inregistrarea este cea mai importanta inovatie si cel mai mare avantaj, respectiv, al instrumentului comparat cu instrumente similare. Convertorul analog-digital, dezvoltat rapid, permite acumularea si procesarea spectrului γ , care este complet si de incredere, in scurte perioade de timp (de exemplu 1 s), care urmeaza rapid, unul dupa altul. Convertorul analog- digital (ADC) transforma spectrul acumulat in procesor si imediat incepe acumularea urmatorului. Intre timp, procesorul realizeaza un numar de proceduri matematice referitoare la procesarea spectrului si la obtinerea de informatii utile, in ceea ce priveste calitatea materialului.

In fig. 4, este prezentat spectrul γ – al

(transportation, assembly, repair and stay). The structure of the block guarantees not exceeding the maximum allowed equivalent doses and a reliable operation.

Registration of transmitted radiation

The detecting block, containing the scintillation detector is positioned above the conveyer belt, co-axially with the radiation head. The scintillation detector detects simultaneously the radiation of both sources.

The scintillation detector (probe) consists of a scintillating unit, represented by mono-crystal of NaI (T1) with a diameter and с диаметър a height of 80 mm, and a photo-electrical multiplier (PEM), installed behind the crystal. The scintillating crystal adsorbs the gamma-quanta and emits, respectively, scintillations of intensity, proportional to the energy of absorbed gamma-quanta.

The determination of the selected photoelectrical multiplier with regard the energy of the Cs-137 ($E\gamma = 661$ keV) is 7%. The geometry of radiation provides the total intensity in the detector approximately of the order of $n \times 10^5$ imp/s, obtained by the isotope for an empty conveyer belt.

Registration of the complete gamma spectrum

That registration is the most important innovation and the greatest advantage, respectively, of the instrument compared to the similar instruments. The developed fast analogous-digital converter allows the accumulation and processing of statistically reliable complete γ -spectrum within short periods of time (for example 1 s), which continuously follow one after the other. The analogous-digital converter (ADC) converts the accumulated spectrum in the processor and immediately commences the accumulation of the next one. In the mean time the processor performs a number of mathematical procedures related to the processing of the spectrum and acquiring useful information about the quality of the material.

In fig. 4 the γ -spectrum of the

iradiatiilor transmise. Cinci domenii tipice au fost utilizate pentru a obtine informatiile necesare.

transmitted radiation is shown. Five typical domains have been used for acquiring the required information.

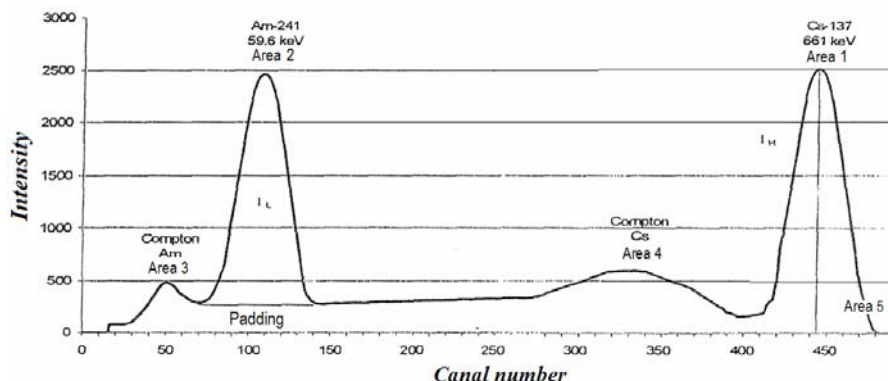


Fig. 4. Un spectru γ , complet, de radiatii transmise / Complete γ -spectrum of transmitted radiation

Primul camp este varful de cesiu (661 keV). Este aplicat pentru a stabiliza functionarea intregului sistem. Numarul canalului, unde trebuie localizat centrul acestui varf, a fost fixat in avans si daca localizarea curentului acestuia este diferita de locatia stabilita anterior, este restabilita printr-o modificare a tensiunii ridicate, alimentarea unitatii de scanteiere. Zona integrala a acestui camp este folosita pentru a determina cantitatea de carbune de pe banda transportoare.

Al doilea camp este varful de americiu. Este un purtator esential, de informatii, in ceea ce priveste continutul de cenusă al fluxului de carbune. Zonele celor două varfurii în cazul unei benzi transportoare, goale (I_{L0} și I_{H0}) și încarcate (I_L și I_H) sunt parametrii esențiali, care, în conformitate cu ecuația (1) sunt utilizati pentru a calcula caracteristicile de mai sus. Cresterea semnificativă a sensibilității măsurătorii este obținută datorită activitatii cu zone „pure” ale varfurilor, ex. asa-numitele „captuseli” sunt extrase, lucru care este cauzat de factori irelevanți în ceea ce priveste valorile măsurate, și mai ales, în condițiile unei încarcături semnificative a cărării, poate avea o mai mare intensitate decât semnal util.

Alte trei domenii spectrale sunt utilizate pentru a citi compozitia variabilă, chimică și

The first domain is the peak of the cesium (661 keV). It is applied for stabilizing the operation of the whole system. The number of the channel, where the centre of this peak should be located, has been fixed in advance and if its current location is different the preset location is restored by a respective modification of the high voltage, feeding the scintillation unit. The integral area of that domain is used for determining the quantity of coal on the conveyer belt.

The second domain is the peak of the americium. It is the substantial carrier of information about the ash content of coal flow. The areas of the two peaks under conditions of an empty conveyer belt (I_{L0} and I_{H0}) and under load (I_L and I_H) are the main parameters, which according to the equation (1) are used for calculating the above characteristic. Significant increase of sensibility of the measurement is achieved due to the work with “pure” areas of the peaks, i.e. the so called “padding” is extracted, which is caused by factors not relevant to the measured values, and especially, under conditions of significant loading of the belt, it may have even higher intensity than the useful signal.

The other spectral domains are used for reading the variable chemical and physical

fizica, diferita a carbunelui - diseminarea Compton a cesiului si americiumului si jumatarea din partea dreapta a varfului de cesiu (astfel este citita deformarea acestuia cu referire la tipul Gaussian, teoretic). Algoritmul propus si modelul matematic, respectiv, sunt utilizate pentru depasirea celor mai serioase obstacole, pentru aplicarea contorului de cenusă radioizotop. Rezultatele obtinute sunt de incredere, in ciuda modificarile originilor, marimii si altor parametrii ai carbunelui.

Blocul de detectare

Componenta principală a blocului de detectare este unitatea de scanteiere. Aceasta transformă iradiatia γ în impulsuri electrice. Transformarea de mai sus este realizată în două faze – totalul gamma este transformat în impulsuri luminoase de către un scanteietor și impulsurile luminoase – în impulsuri de curent, de către un multiplicator fotoelectric.

Scanteietorul este un cristal de NaI (T1), cu forma cilindrică și care are dimensiunile 80x80 mm. Se află într-o carcasa hermetică, datorită proprietăților hidroscopic. Acesta transformă particulele γ în impulsuri luminoase de intensitate proporțională cu energia particulelor și durată de aproximativ 1 μ s.

Una dintre fețele cristalului este sticlă transparentă și multiplicatorul fotoelectric este atașat la aceasta. În acesta, lumina (fotonii) aduce emisiile de electroni liberi, care sunt multiplicate de câteva sute de mii de ori și un curent semnificativ, de ordinul μ A este obținut de către anodul multiplicatorului fotoelectric.

Multiplicatorul fotoelectric este alimentat de un voltaj cu o polaritate negativă și o valoare de - 900-1600 V, în funcție de aparatul specific. Acel voltaj se află între anod și catod, însă, prin intermediul unui mecanism de divizare, porțiuni ale acestuia sunt alimentate la electrozi auxiliari, numiți di-nod. Mecanismul de divizare este poziționat pe carcasa multiplicatorului fotoelectric. Curentul de la anod este alimentat la pre-amplificator de aproximativ 200 ori și, în plus, este în conformitate cu o rezistență ridicată a multiplicatorului fotoelectric și cu rezistența

composition of the coal – the Compton dissemination of the cesium and the americium and the right-hand half of the cesium peak (thus its deformation with regard the theoretical Gaussian type is read). The proposed algorithm and the respective mathematical model are used for overcoming the most serious obstacles for the application of radio-isotope ash-meters. The obtained results are acceptably reliable, nevertheless of the changes in the origin, size and other parameters of the coal.

Detecting block

The main component of the detecting block is the scintillation unit. It converts the γ -radiation into electrical impulses. The above conversion is performed into two stages – the gamma quanta are converted into light impulses by a scintillator and the light impulses – into current impulses by a photoelectrical multiplier.

The scintillator is a crystal of NaI (T1) of cylindrical shape and dimensions 80x80 mm. It is encapsulated into a hermetical casing due to its high hygroscopic properties. It converts the γ particles into light impulses of intensity proportional to the energy of the particle and duration of approximately 1 μ s. One of the faces of the crystal is transparent glass and the photoelectrical multiplier is fastened to it. In it the light (photons) brings to the emission of free electrons, which are several hundred thousand times multiplied and significant current of the order of μ A is achieved by the anode of the photoelectrical multiplier.

The photoelectrical multiplier is fed by voltage of negative polarity and a value - 900-1600 V, depending on the specific apparatus. That voltage is between the anode and the cathode, however by means of a resistive divider portions of it are fed to auxiliary electrodes, called di-nodes. The divider is positioned on the casing of the photoelectrical multiplier. The current from the anode is fed to pre-amplifier, which has amplification of about 200 times and in

scazuta, de intrare, a cablului de conectare, coaxial. Pre-amplificatorul este alimentat cu +/- 12 V.

Unitate de analizare

Este realizata dintr-un convertor analog-digital si un analizor cu multe canale.

Partea analogă a convertorului analog-digital ca o unitate de formare analogă

Impulsurile unitatii de scanteiere intra in unitatea de formare – analogă. Latimea acestor impulsuri este de aproximativ $1,6 \mu s$, ceea ce este foarte mult, datorita caracterului stocastic al proceselor (170 000 impulsuri intra timp de 1 secunda, dar sunt distribuite aleatoriu, in timp, ceea ce maresteste probabilitatea suprapunerii). Referitor la motivul de mai sus, impulsurile sunt formate prin simpla diferențierea admisiei. Amplitudinea impulsurilor la intrare, dupa formare, este de aproximativ 0 la 1,7 V pentru spatiul de activitate. Aceste impulsuri sunt analizate prin intermediul „schemei lui Wilkinson” iar impulsurile dreptunghiulare cu o amplitudine a impulsului de intrare sunt obtinute la iesires din unitate. Principiul “Wilkinson” se bazeaza pe incarcarea unui condensator cu tensiunea de intrare a ouslului si cu ulteriora descarcare printr-un generator de curent si timpul debitului defineste latimea pulsului la iesire

Latimea pulsului la evacuare nu depaseste $2,5 \mu s$, iar perioade de timp pentru a analiza un puls nu depaseste $3,5 \mu s$.

Intreaga categorie a spectrului este impartita in doua zone – de la 0 la 120 keV si de la 200 la 700 keV. Impulsul de la o zona la alta poate oferi impulsuri egale la evacuare si din acest motiv, a doua zona este indicata printr-un steag special.

Codificator

Partea digitala a convertorului analog-digital, impreuna cu analizorul cu canale multiple este realizat intr-o unitate, numita codificator. Acesta este realizat din doua unitati

addition provides compliance of the very high outlet resistance of the photoelectrical multiplier and the low inlet resistance of the connecting co-axial cable. The pre-amplifier is fed with +/- 12 V.

Analyzing unit

It consists of analogous-digital converter and a multi-channel analyzer.

The analogous part of the analogous-digital converter as an analogous forming unit

The impulses of scintillation unit enter into the analogous-forming unit. The width of those impulses is about $1,6 \mu s$, which is very high due to the stochastic character of the processes (170 000 impulses enter for 1 sec. but randomly distributed with time, which enhanced the probability of overlapping). With regard the above reason, the impulses are formed by single differentiation at the inlet. The amplitudes of the inlet impulses, after the formation, are about 0 to 1,7 V for the working range. Those impulses are analyzed by means of the “scheme of Wilkinson” and rectangular pulses of amplitude 5 V and duration, proportional to the amplitude of the inlet pulse are obtained at the outlet of the unit. The principle “Wilkinson” is based on the charging of a capacitor to the inlet voltage of the pulse and further discharging through a generator of current and the time for discharge defines the width of the outlet pulse.

The width of the outlet pulse does not exceed $2,5 \mu s$, and the time for analyzing one pulse doe not exceed $3,5 \mu s$.

The whole range of the spectrum is divided into two zones – from 0 to 120 keV and from 200 to 700 keV. Pulse from the one or the other zone may provide equal width at the outlet and for that reason the second zone is indicated with a special flag.

Coder

The digital part of the analogous-digital converter together with the multi-channel

CPLD si DSP.

CPLD reprezinta partea indivizibila a sistemului “Wilkinson”. Scopul acestuia este acela de a transforma intervale de timp din unitatea analoga de formare intr-un cod digital. Cele mentionate mai sus sunt obtinute prin urmatoarea modalitate – numerotarea cu un generator quart ce are o frecventa de 100 Mhz, este permisa in acest interval. Sfarsitul intervalului interzice numerotarea si numarul obtinut este codul, care reprezinta adresa celulei de memorie, numerotarea careia trebuie sa fie marita cu 1.

DSP reprezinta un sistem de procesare multipla, in care este format spectrul. CPLD si DSP sunt unite intr-un singur panou. Intregul spectru este impartit in 512 canale.

Steagul pentru a doua zona adauga un registru major al codului si astfel, a doua zona apare de la canalul 256 la 512. Astfel cele doua analizoare ale spectrului sunt unite intr-unul si este obtinut un spectru uniform.

Furnizare voltaj ridicat

Furnizeaza voltaj la unitatea de scateiere. Este absolut necesar sa poata fi reglat, datorita faptului ca amplificatorul multiplicatorului fotoelectric depinde de acel voltaj.

Un generator sinusoidal este aplicat pentru a obtine voltajul ridicat, in vederea evitarii introducerii zgomotelor, tipic pentru generatorul de pulsuri.

Reglarea este realizata prin intermediul unui DAC incorporat. Codul, care corespunde unei anumite valori a voltajului este pregatita de catre DSP, ulterior unei comenzi realizate de catre computerul care controleaza. Voltajul ridicat poate fi controlat prin intermediul unui grad de 0,5 V. Valoarea specifica si gradul sunt oferite de un computer de controlare, cu ajutorul parametrilor, incorporat intr-o fisă, tipic pentru fiecare sistem.

Algoritmi semnificativi analizeaza localizarea varfurilor si modifica voltajul ridicat astfel incat aceste varfuri sa ramana in zona de interes.

Furnizarea curentului ofera un curent de

analyzer is produced into one block, called coder. It consists of two blocks – CPLD and DSP.

The **CPLD** represents an indivisible part of the “Wilkinson” system. Its designation is to convert the time intervals from the analogous-forming unit into a digital code. The above is achieved by the following approach – counting by a quartz generator of 100 MHz frequency is allowed during the interval. The end of the interval forbids counting and the obtained number is the code, which represents the address of the cell of memory, the content of which has to be increased by one.

The **DSP** represents a multi-processing system, in which the spectrum is formed.

CPLD and DSP are united in one panel. The entire spectrum is divided into 512 channels. The flag for the second zone adds a senior register to the code, and thus the second zone appears from 256th to 512th channel. Thus the two spectrum-analyzers are united into one and a uniform spectrum is obtained.

High voltage supply

It provides power supply to the scintillation unit. It is absolutely necessary that it can be adjusted, because the amplification of the photoelectrical multiplier highly depends on that voltage.

A sinusoidal generator is applied for achieving the high voltage in order to avoid the input of noises, typical for the pulse generators.

The adjustment is performed by an incorporated DAC. The code, corresponding to a certain value of the voltage is prepared by the DSP further to a command by a controlling computer. The high voltage may be controlled by a step of 0,5 V. The specific value and the step are given by a controlling computer by parameters, incorporated into a file, typical for each system.

Purposeful algorithms analyze the location of peaks and modify the high voltage so that those peaks remain in the zones of interest.

iesire de 1,1 mA. Polaritatea este negativa iar o protectie este incorporata pentru a limita puterea maxima de iesire.

Furnizare energie

Este utilizata furnizarea generala a energiei pentru intregul sistem al benzii transportoare. O furnizare separata a electricitatii este utilizata pentru computerul de control al excavatoarelor, datorita distantei intre diferitele blocuri ale sistemului.

Furnizarea energiei este realizata din doua blocuri: stabilizator primar pentru +/- 15 V si stabilizatoare pentru toate celelalte voltaje solicitate, care sunt descrise in schemele principale ale blocului separat. Stabilizatorul primar a fost pus in functiune doar la mina "Troyanovo - 1". Acet lucru a fost solicitat datorita devierilor ridicate de la furnizarea principala, de 220 V, primita si inregistrata dupa ce sistemul a fost pus in functiune la mina "Troyanovo - sever". Scopul acesteia este de a oferi o tensiune de +/- 15 V cu puterea solicitata in cadrul conditiilor unui voltaj schimbator, al debitului, pe o scara intre 180 si 280 V.

Computerului contorului de cenusă

Computerul realizeaza controlul masuratorilor, procesarea celor obtinute prin blocul de analizare informatii si calcularea valorilor actuale ale incarcaturii si continutului de cenusă. Acesta realizeaza transferul informatiilor catre server si accepta cele prezentate de setarile si parametrii serverului. Aseaza la arhiva „informatiile proaspete”, care sunt utilizate pentru calibrarea dispozitivului.

Referitor la contoarele de cenusă ale excavatoarelor, computerul realizeaza vizualizarea pe ecrane, in cabina operatorului si executa comenzi, furnizate de tastatura operatorului.

Referitor la contorul de cenusă al benzilor transportoare; computerul realizeaza legatura cu dispozitivul final pentru a incarca vagoanele.

Acesta face legatura intre fiecare dintre contoarele de cenusă si antena principală a serverului.

The power supply provides an outlet current of 1,1 mA. The polarity is negative and a protection is incorporated in order to limit the maximum outlet power.

Power supply

The general power supply for the whole belt conveyer system is used Separate power supply is used for the controlling computer of the excavators because of the distance between the different blocks of the system.

The power supply consists of two blocks: primary stabilizer for +/- 15 V and stabilizers for all the other required voltages, which are described in the principle schemes of the separate block. The primary stabilizer has been put into operation at the "Troyanovo - 1" mine only. That has been required because of the high deviations from the main 220 V supply, received and registered after putting of the system into operation at the "Troyanovo - sever" mine. Its designation is to provide at its outlet +/- 15 V with required power under conditions of changeable inlet voltage in the range of 180 to 280 V.

Computer of the ash-meter

The computer performs the control of measurements, processing of the obtained by the analyzing block information and calculating the current values of loading and ash content. It performs the transfer of data to the server and accepts submitted by the server settings and parameters. It puts into an archive the "crude information", which is used for calibrating the device.

With regard the ash-meters of the excavators, the computer performs the visualization at the displays in the operators' cabins and executes the commands, supplied by the operators' keyboards.

With regard the ash-meters of the belt conveyers; the computer performs the connection with the terminal device for loading of the train cars.

It provides connection between each of the ash-meters and the main antenna of the

Algoritm pentru a calcul cantitate si pentru a determina calitatea carbunelui

Calcularea cantitatii (productivitate)

Parametrul utilizat pentru a calcula impulsul de incarcare al benzii transportoare este amortizarea iradierii cu cesiu. Este notat cu Y_1 si determinat in conformitate cu (5).

$$Y_1 = \ln(N_{10}) - \ln(X_1)$$

(5)

unde N_{10} este spatiul primei zone a spectrului in cazul unei benzi goale. Aceasta este masurata periodic in cadrul asa numitei „aduceri la zero” a dispozitivului si este salvata in fisă de initializare; X_1 - spatiul zonei sub incarcatura.

Atata tip cat dependenta incarcaturii la amortizare este non-liniara, incarcatura este separata intre cele doua zone – “incarcatura scazuta” si “ incarcatura ridicata” pentru a micsora greseala.

Calculul este realizat prin formule separate pentru fiecare dintre zone, in legatura cu valoarea Y_1 , dupa cum urmeaza:

- Pentru valori mai scazute decat o limita oferita ($Y_1 < Y_{ep}$) se aplica ecuatia (6)

$$G = e_1 + e_2^{Y_1} + e_3^{Y_1^2} + e_4^{Y_1^3} \quad (6)$$

- Si pentru valori mai ridicate decat limita ($Y_1 > Y_{ep}$) se aplica ecuatia (7)

$$G = f_1 + f_2^{Y_1} + f_3^{Y_1^2} + f_4^{Y_1^3} \quad (7)$$

Calculul continutului de cenusă

Pentru a calcula continutul de cenusă, este folosit parametrul Y , care reprezinta raportul intre cele doua amortizari - formula (8):

server.

Algoritm for calculating the quantity and determining the quality of coal

Calculating the quantity (productivity)

The parameter used for calculating the momentum loading of the conveyer belt is the attenuation of radiation of cesium. It is noted by Y_1 and determined according to (5).

$$Y_1 = \ln(N_{10}) - \ln(X_1)$$

(5)

where N_{10} is the area of the first zone of the spectrum under conditions of an empty belt. It is measured periodically under the so called “zeroing” of the device and is saved into the respective initialization file; X_1 - area of the zone under loading.

As the dependence of loading on the attenuation is highly non-linear, the loading is divided into two zones – “low load” and “high load” in order to minimize the error. The calculation is performed by separate formulas for each of the zones, in dependence of the value of Y_1 , as follows:

- For values lower than a given boundary ($Y_1 < Y_{ep}$) the equation (6) is applied

$$G = e_1 + e_2^{Y_1} + e_3^{Y_1^2} + e_4^{Y_1^3} \quad (6)$$

- And for values above the boundary ($Y_1 > Y_{ep}$) the equation (7) is applied

$$G = f_1 + f_2^{Y_1} + f_3^{Y_1^2} + f_4^{Y_1^3} \quad (7)$$

Calculating the ash content

For calculating the ash content the parameter Y is used, representing the ratio between the two attenuations – formula (8):

$$Y = \frac{Y_2}{Y_1} \quad (8)$$

unde: Y_1 reprezinta amortizarea din domeniul cesiului (primul domeniu); Y_2 – amortizarea din domeniul americiumului (al doilea domeniu):

In (5) si (9) N_{10} si N_{20} reprezinta zonele din cadrul unei curele goale, iar X_1 si X_2 sunt zonele campurilor din cazul unei benzi transportoare, incarcate.

Continutul de cenusă este calculat in conformitate cu doua ecuatii, valabile pentru cele doua zone de incarcare, ex. diferit de Y_1 . In acest caz, cand n ($Y_1 < Y_{ep}$), se aplica expresia (10):

$$A = a_0 + a_1 Y + a_2 Y_1 + a_3 Y_2 + a_4 Y^2 + a_5 Y_1^2 + a_6 \frac{X_3}{X_1} + a_7 \frac{X_5}{X_2} + a_8 \frac{X_4}{X_1} \quad (10)$$

Cand $(Y_1 > Y_{ep})$ polinomul este in conformitate cu (11):

$$A = b_0 + b_1 Y + b_2 Y_1 + b_3 Y_2 + b_4 Y^2 + b_5 Y_1^2 + b_6 \frac{X_3}{X_1} + b_7 \frac{X_5}{X_2} + b_8 \frac{X_4}{X_1} \quad (11)$$

Valorile limita ale Y_1 pentru a calcula incarcatura si continutul de cenusă pot fi diferite.

Media continutului de cenusă este calculata in conformitate cu (12).

$$A_\phi = \frac{\sum AG}{\sum G}, \% \quad (12)$$

Concluzii

1. Lucrarea este o prezentarea a principiilor esentiale, aplicate realizarii unui sistem pentru monitorizarea „on line” a calitatii

where: Y_1 is the attenuation in the domain of the cesium (first domain); Y_2 – attenuation in the field of the americium (second domain):

$$Y_2 = \ln(N_{20}) - \ln(X_2)$$

In (5) and (9) N_{10} and N_{20} are the areas of the domains under conditions of an empty belt, and X_1 and X_2 are the areas of domains under conditions of loaded conveyer belt.

The ash content is calculated according to two equations, valid for the two zones of loading, i.e. differed by Y_1 . In the case, when $(Y_1 < Y_{ep})$, the expression (10) is applied:

$$A = a_0 + a_1 Y + a_2 Y_1 + a_3 Y_2 + a_4 Y^2 + a_5 Y_1^2 + a_6 \frac{X_3}{X_1} + a_7 \frac{X_5}{X_2} + a_8 \frac{X_4}{X_1} \quad (10)$$

When $(Y_1 > Y_{ep})$ the polynomial is according to (11):

$$A = b_0 + b_1 Y + b_2 Y_1 + b_3 Y_2 + b_4 Y^2 + b_5 Y_1^2 + b_6 \frac{X_3}{X_1} + b_7 \frac{X_5}{X_2} + b_8 \frac{X_4}{X_1} \quad (11)$$

The boundary values of Y_1 for calculating the loading and the ash content may be different.

The average ash content is calculated according to (12).

$$A_\phi = \frac{\sum AG}{\sum G}, \% \quad (12)$$

Conclusions

1. The paper is a presentation of the main principles, applied to the construction of the system for “on line” monitoring of the quality and ash-content of coal, which is operated in practice at the “Troyanovo 3” mine. Data,

si continutului de cenusă al carbunelui, care este utilizat, în practică la mina “Troyanovo 3”. Informațiile obținute de la sistem sunt furnizate la consumatorii majori de carbune.

2. Actionarea sistemului pentru masurare, bazat pe principiile radio-izotopului pentru a măsura parametrii principali ai calității carbunelui, în funcționare continuă, oferă posibilitatea monitorizării operaționale și controlului efectiv, în conformitate cu standardele consumatorilor.

BIBLIOGRAFIE:

1. “Assarel Medet” AD. Sistem pentru controlul calității minereului furnizat către magaziile utilajului de procesare. Arhiva lui Assarel Medet AD. Panagurishte, 2001 (în bulgăru).
2. Алукер Н., Е. Корзухина, Н. Сорокина. Изучения радиационных характеристик углей Кузбаса, Материалы 2 Международной конференции „Радиоактивность и радиоактивные элементы в среде обитания человека”, Томск, Тандем-Арт, 2004.
3. Borecuy K. Strukturni studie hnedeho uhli SPH rentgenovou difaktometrii. SDH. № 4. 1993.
4. Lieneke F. Management al calității la Ruhrkohle Bergbau AG, ca factor de succes, pentru a menține competitivitatea și pentru a asigura viitorul companiei. Al 17-lea Congres Mondial de Minerit, Acapulco, 1997.
5. Mastalerz M, P. Padget. De la carbune *in situ* la carbunele final: un caz de studiu al Membrului Carbunelui Danville (Indiana): Pap. Simpozion Departament Geologie Carbune al Societății Geologice din America și al Societății pentru Petrologie organica, care s-a tinut la cea de-a 47-ea întâlnire anuală a Secțiunii Southenastern de la Societatea Geologică din America. Charleston, Wes Va, 1998.
6. Sistem pentru control și monitorizare automată a calității carbunelui la mina “Maritsa East mines” EAD. Arhiva Minelor “Maritsa East Mines” EAD, Radnevo, 2008 (în bulgăru).
7. The commissioning of the system for measuring, based on the radio-isotope principles for measuring the main parameters of quality of coal in a continuous operation provides an opportunity for operative monitoring and effective control according to the standards of the consumers.

BIBLIOGRAPHY:

1. “Assarel Medet” AD. System for control of the quality of supplied ore to the hoppers of the processing plant. Archive of the Assarel Medet AD. Panagurishte, 2001 (in Bulgarian).
2. Алукер Н., Е. Корзухина, Н. Сорокина. Изучения радиационных характеристик углей Кузбаса, Материалы 2 Международной конференции „Радиоактивность и радиоактивные элементы в среде обитания человека”, Томск, Тандем-Арт, 2004.
3. Borecuy K. Strukturni studie hnedeho uhli SPH rentgenovou difaktometrii. SDH. № 4. 1993.
4. Lieneke F. Quality management at Ruhrkohle Bergbau AG as success factor for preserving competitiveness and securing the company's future. 17 Word Mining Congress, Acapulco, 1997.
5. Mastalerz M, P. Padget. From *in situ* coal to the final coal product: a case study of the Danville Coal Member (Indiana): Pap. Simposium Coal Geology Division of the Geological Society of America and the Society for Organic Petrology held at the 47th Annual Meeting of the Southenastern Section of the Geological Society of America. Charleston, Wes Va, 1998.
6. System for automated control and monitoring the quality of coal at the “Maritsa East mines” EAD. Archive of the “Maritsa East Mines” EAD, Radnevo, 2008 (in Bulgarian).